

図53 BホテルにおけるNO₂濃度比較

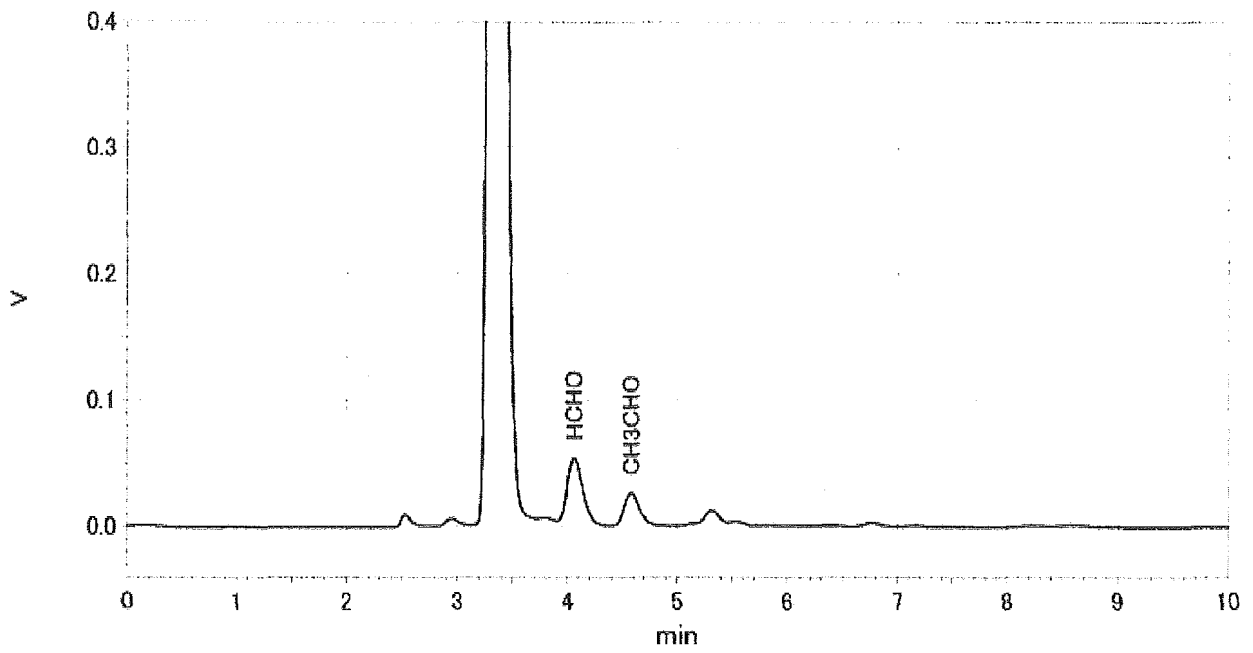


図54 Bホテル(イベントホール)におけるアルデヒド類クロマトグラム

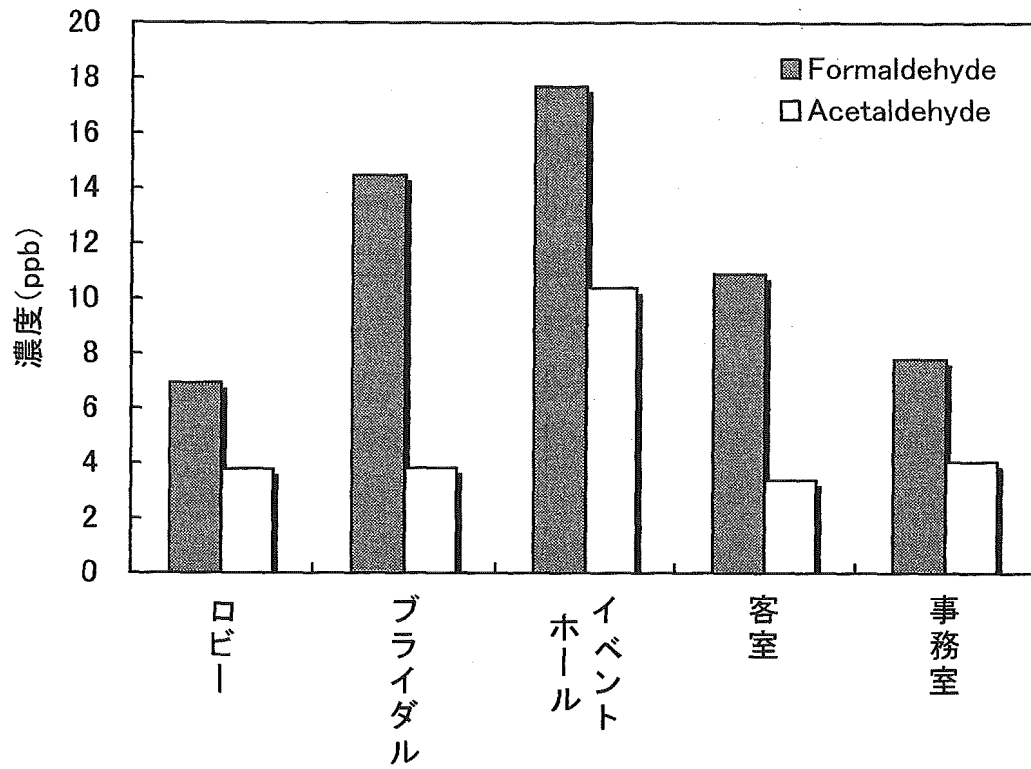


図55-a Bホテルにおけるアルデヒド類濃度比較

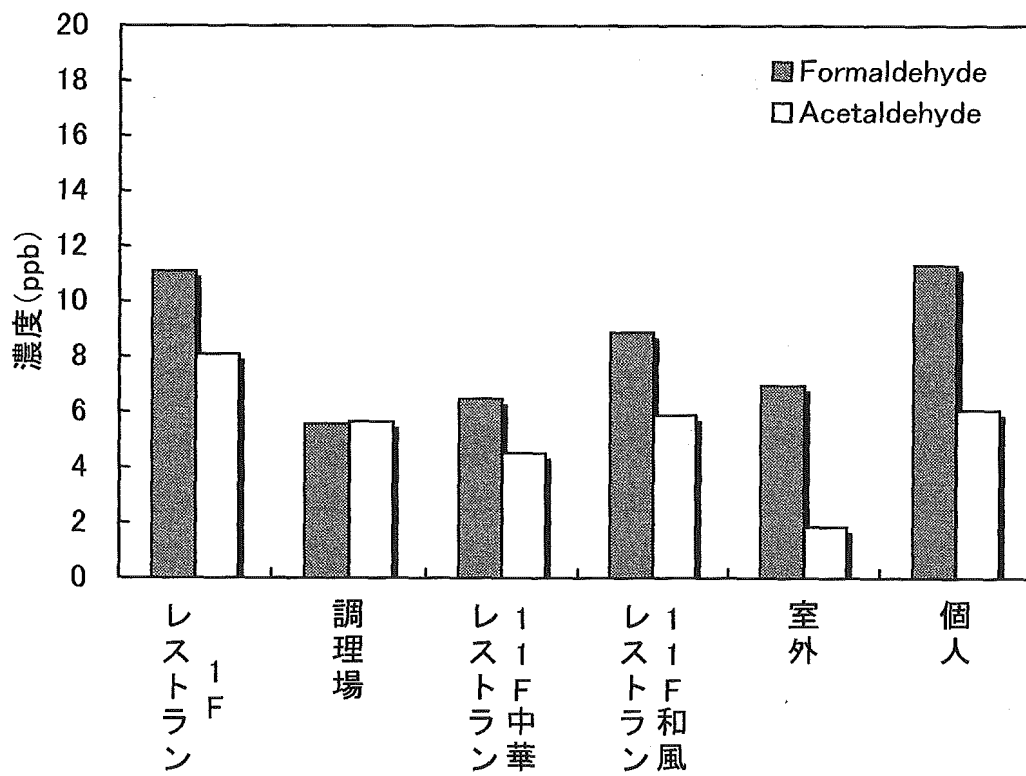


図55-b Bホテルにおけるアルデヒド類濃度比較

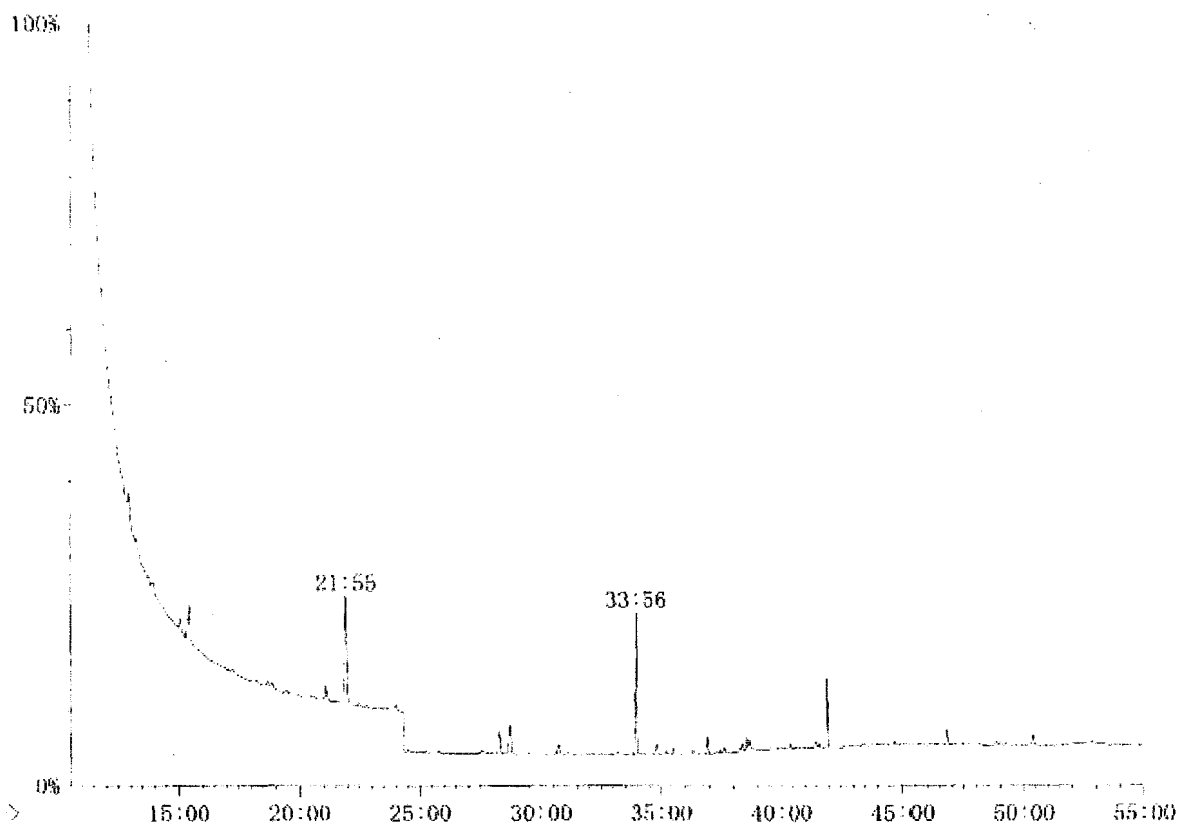


図56 CホテルにおけるVOCsのクロマトグラム

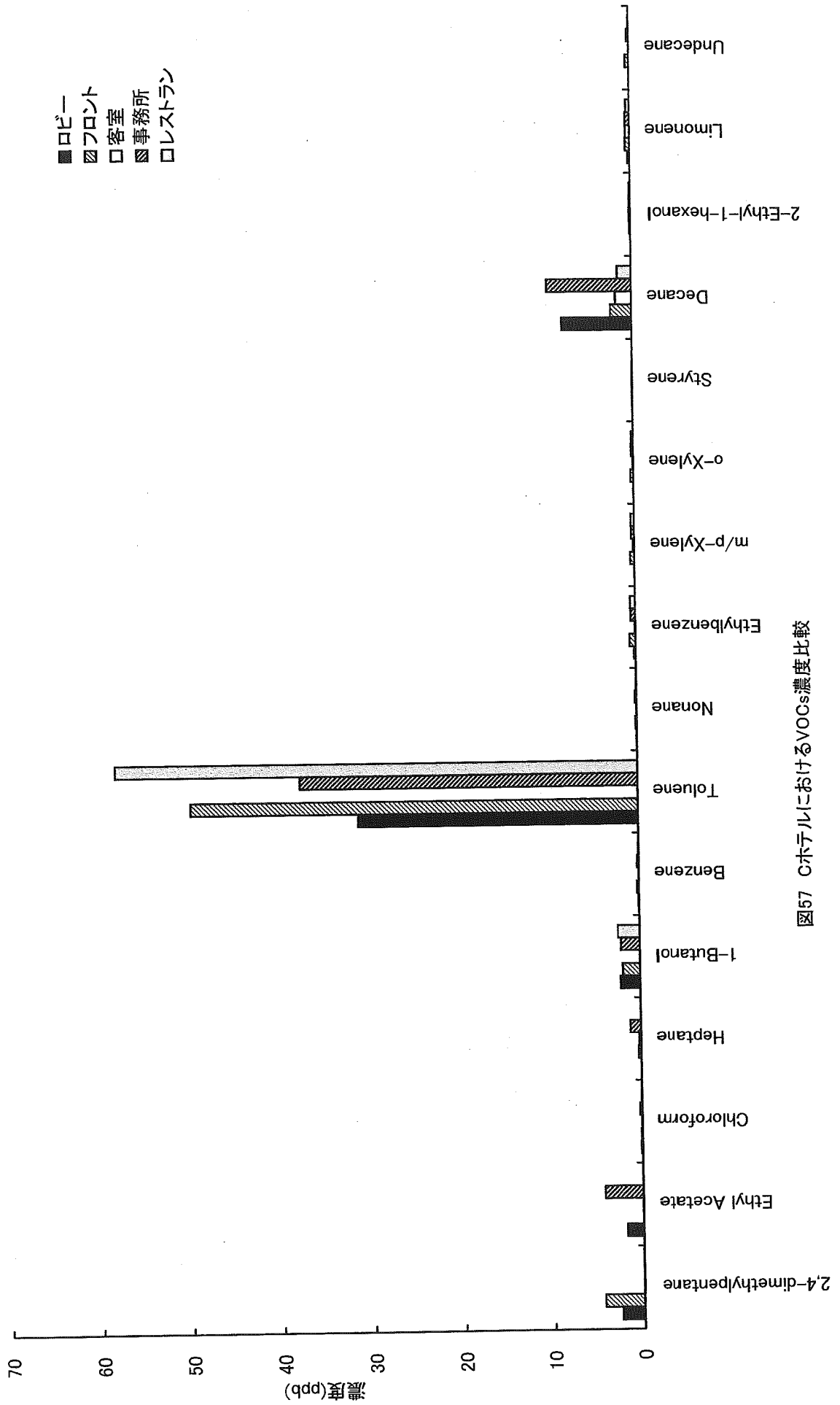


図57 CホテルにおけるVOCs濃度比較

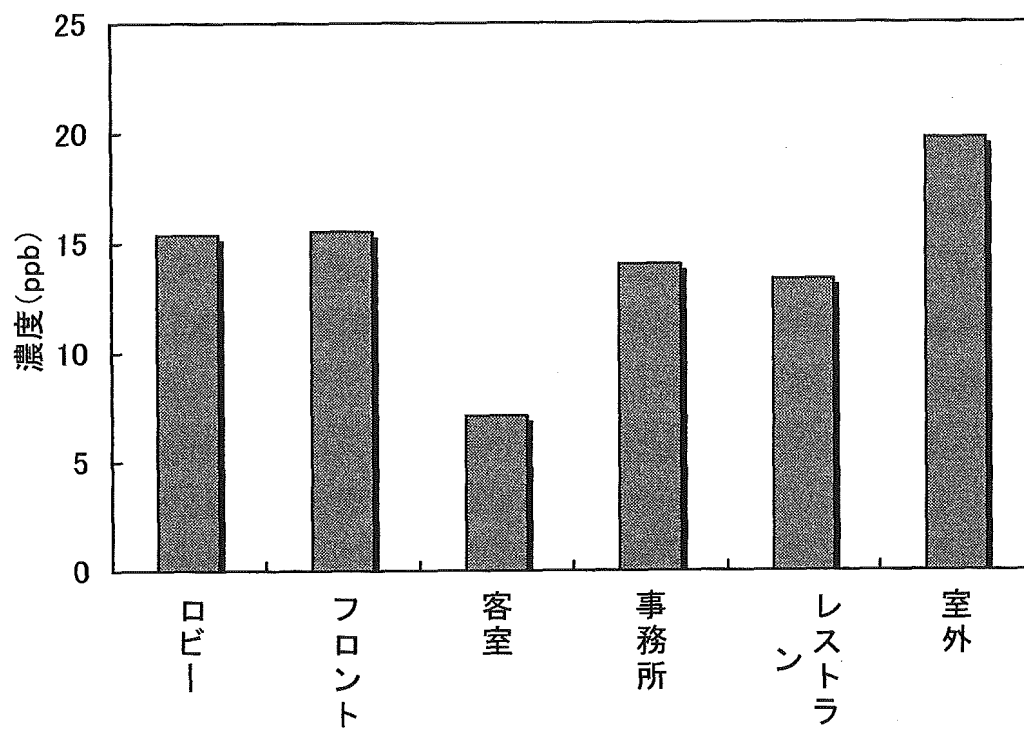


図58 CホテルにおけるNO₂濃度比較

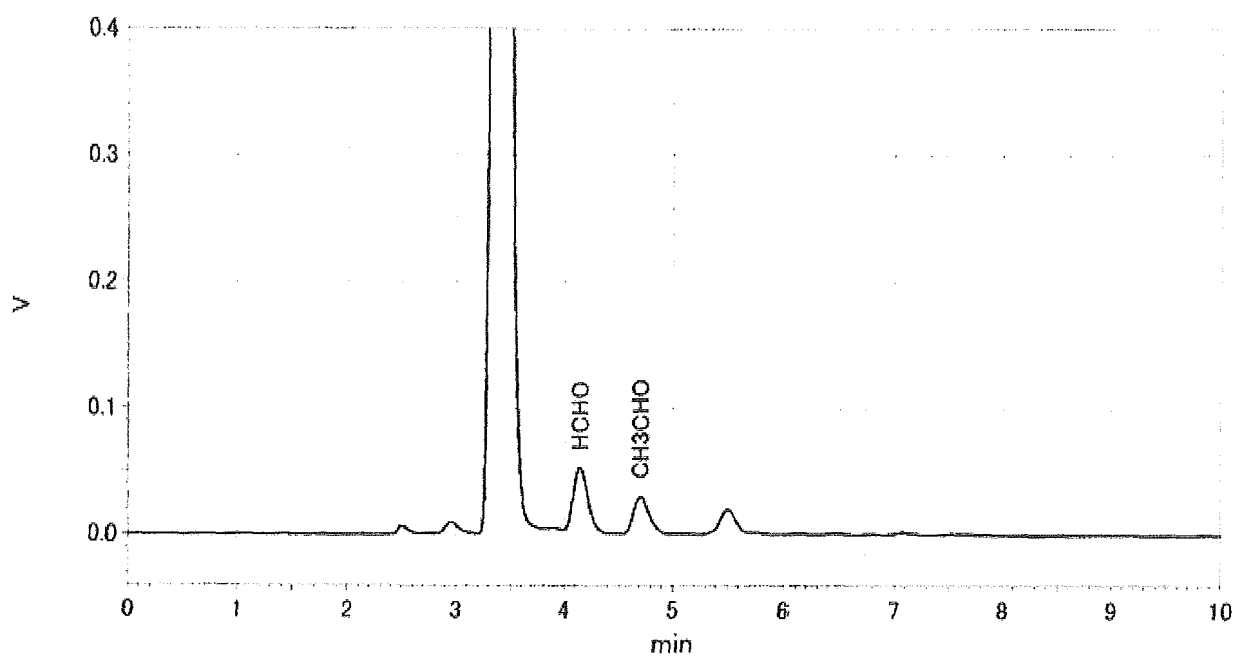


図59 Cホテル(客室)におけるアルデヒド類クロマトグラム

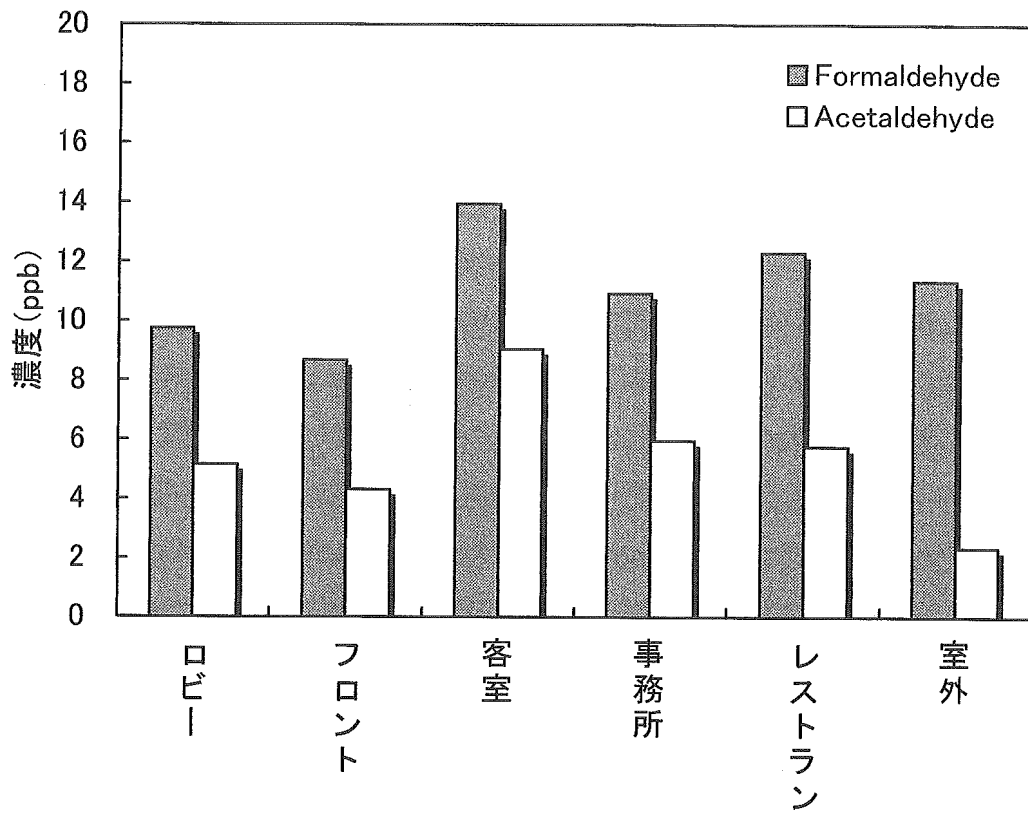


図60 Cホテルにおけるアルデヒド類濃度比較

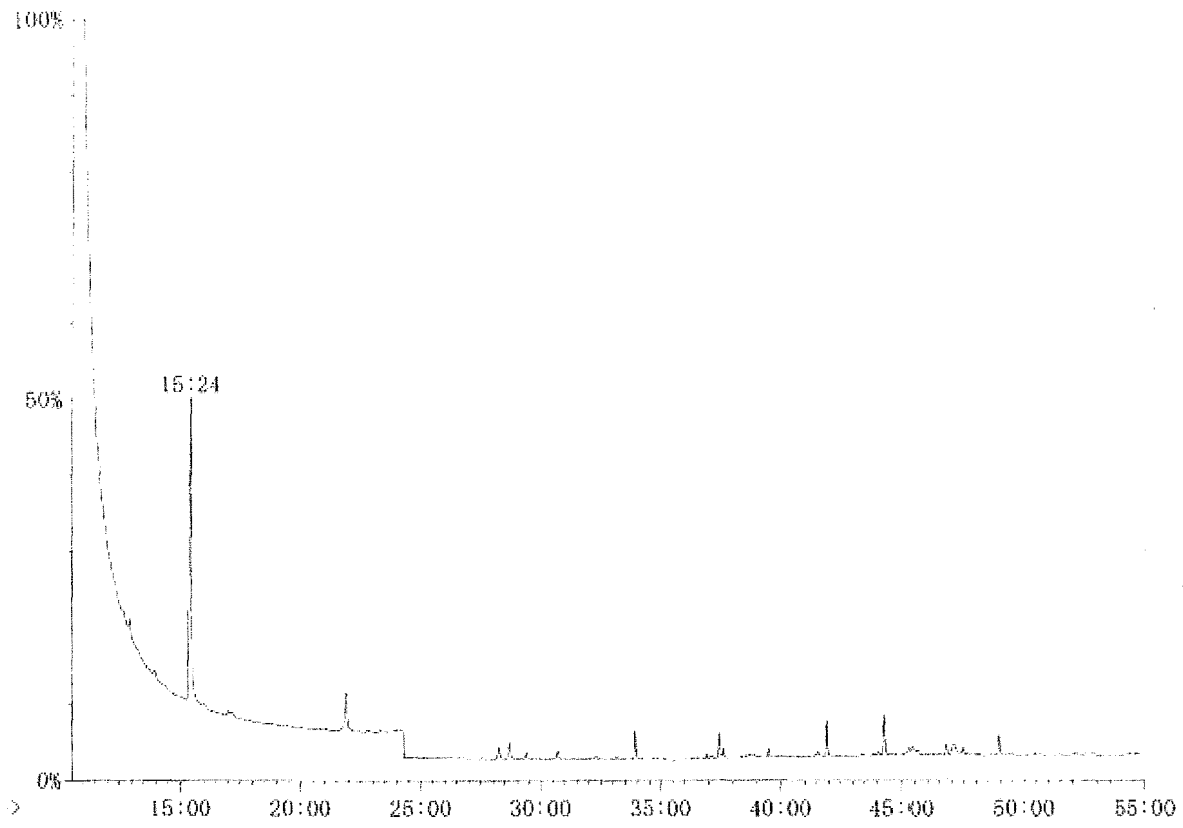


図61 国際会議場におけるVOCsのクロマトグラム

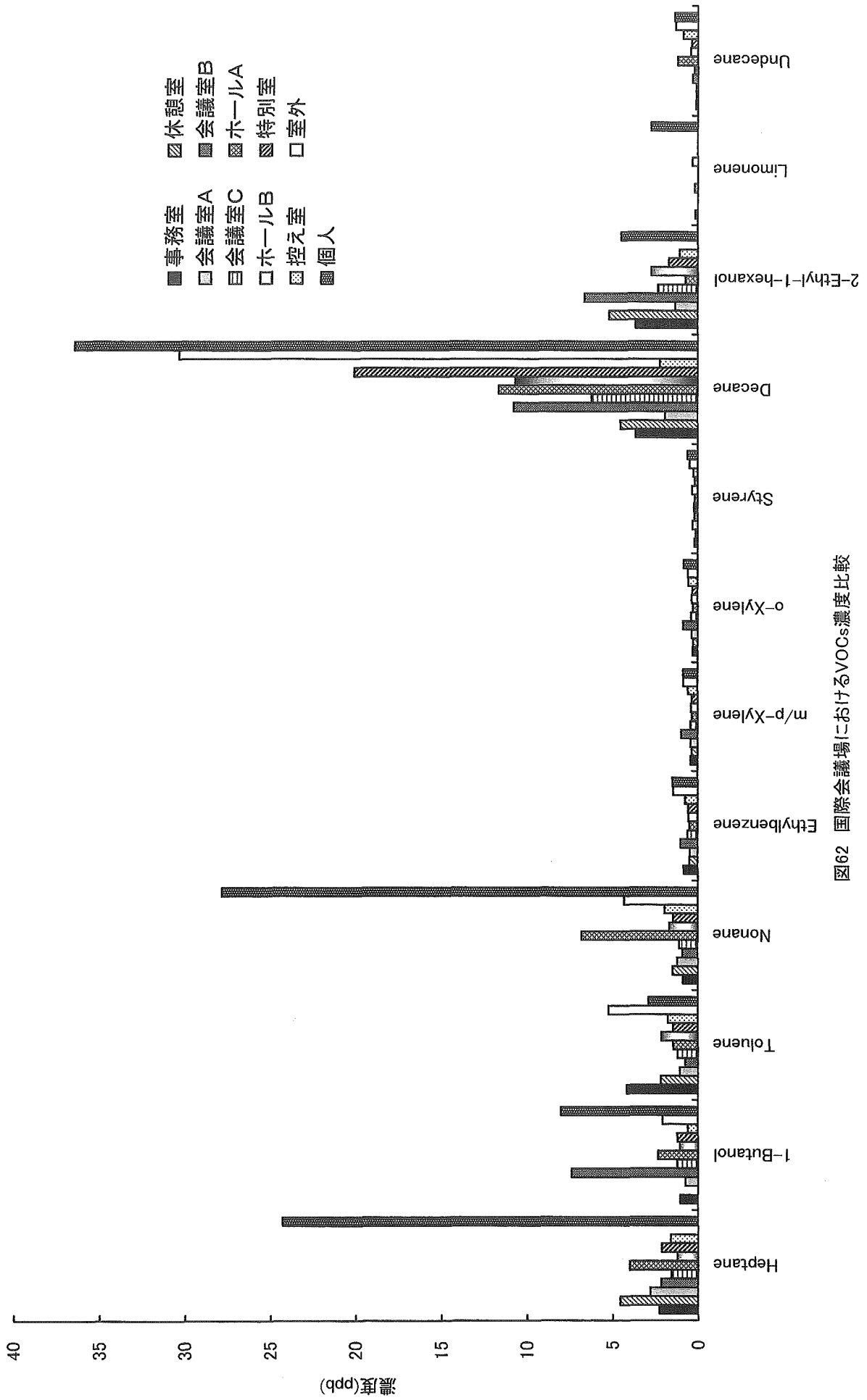


図62 国際会議場におけるVOCs濃度比較

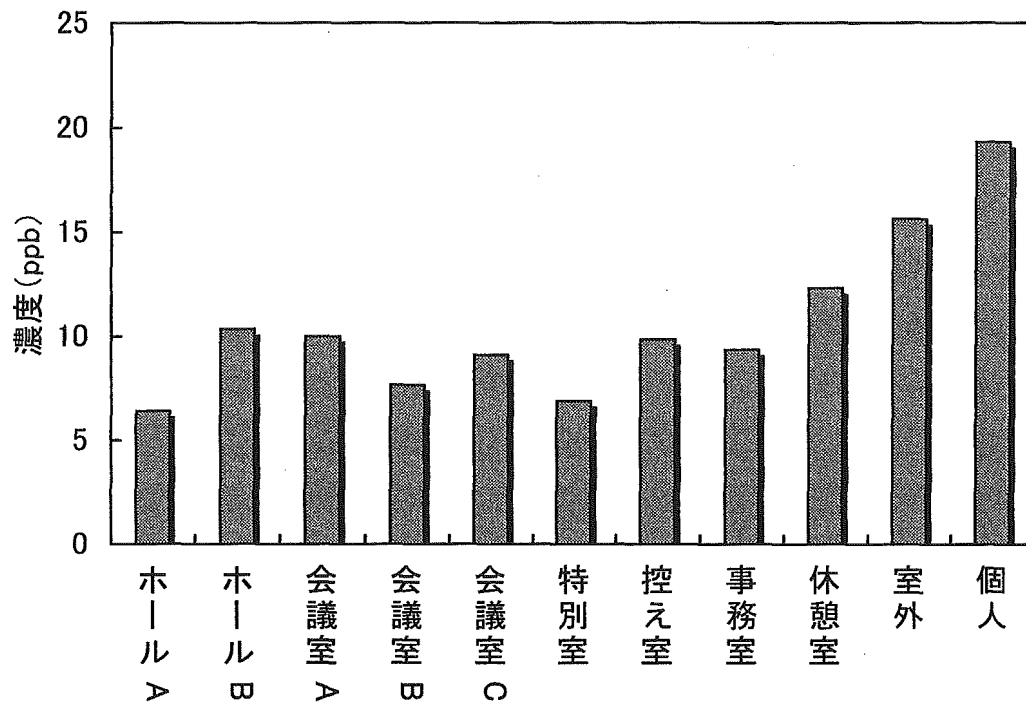


図63 国際会議場におけるNO₂濃度比較

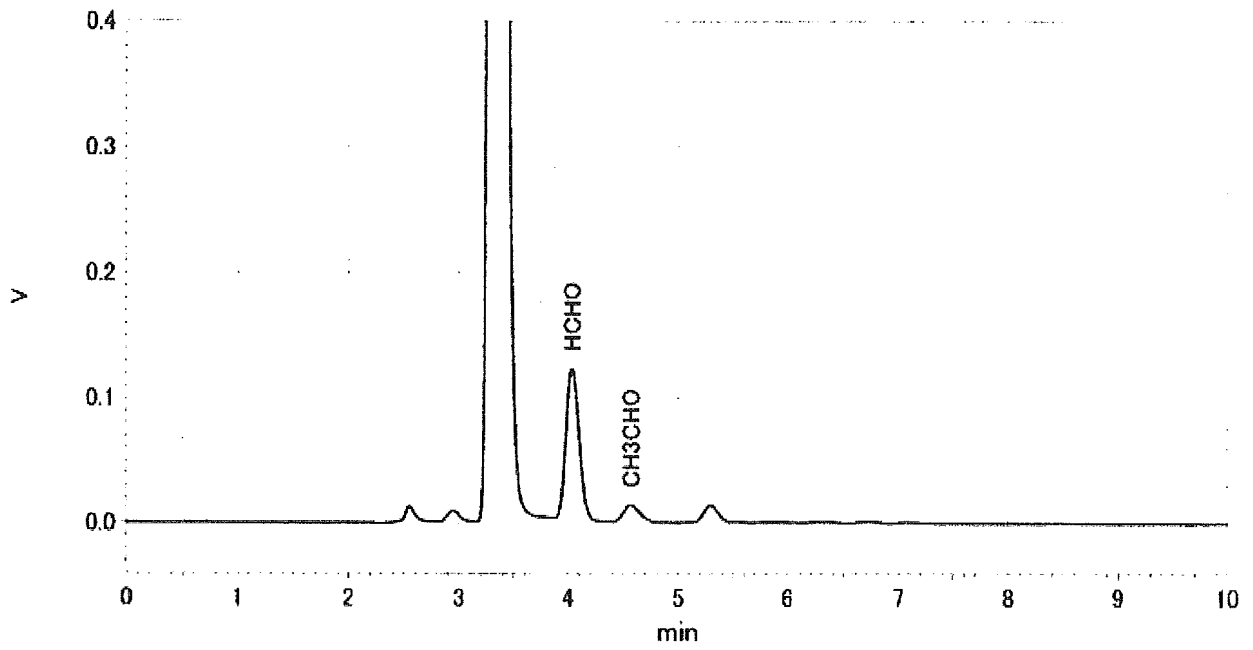


図64 国際会議場(メインホール)におけるアルデヒド類クロマトグラム

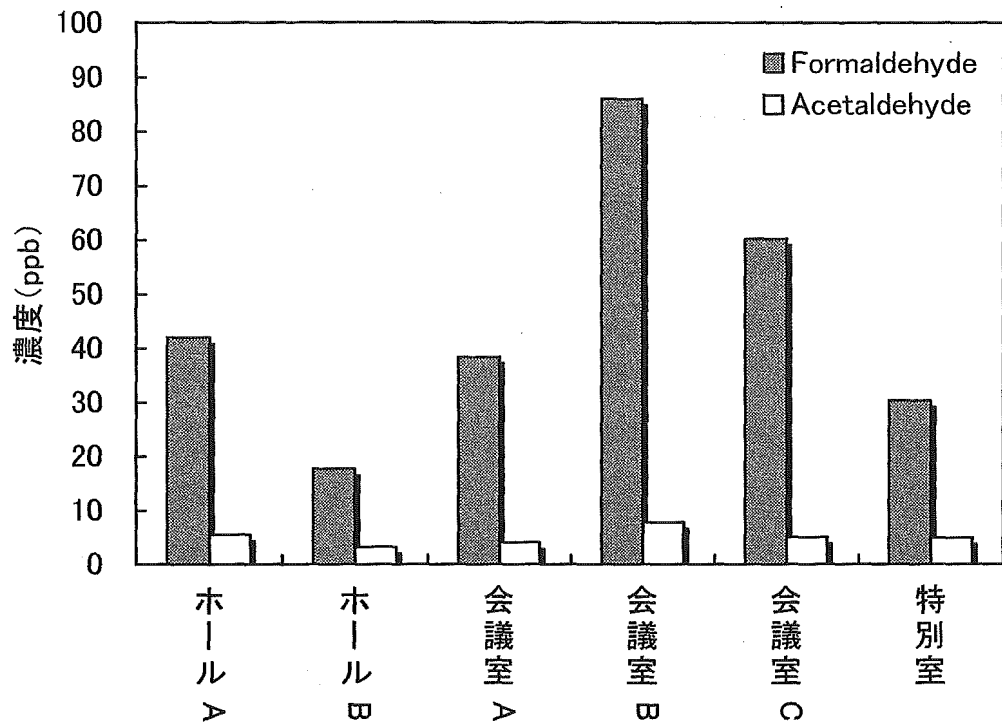


図65-a 国際会議場におけるアルデヒド類濃度比較

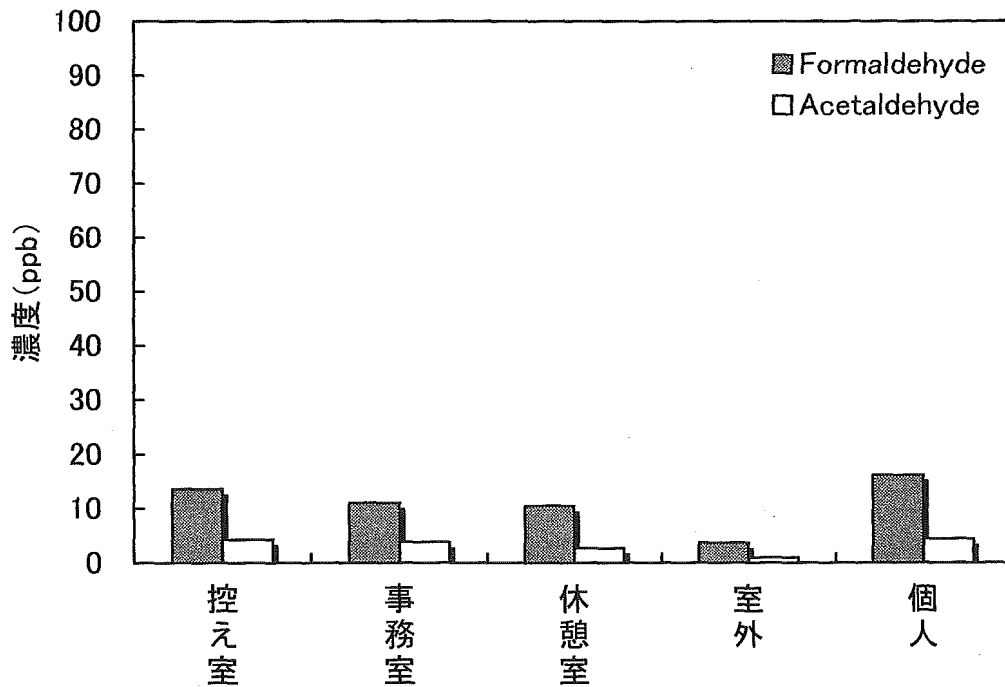


図65-b 国際会議場におけるアルデヒド類濃度比較

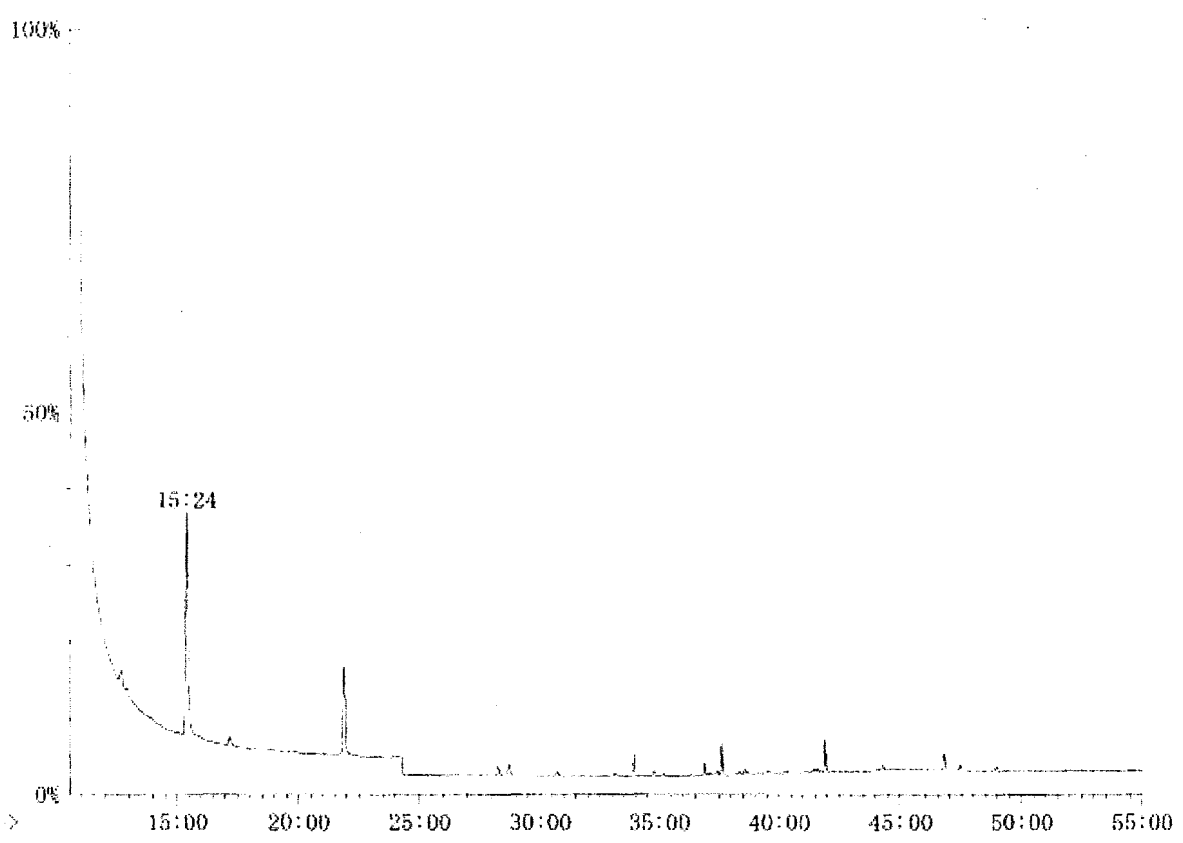


図66 JR駅におけるVOCsのクロマトグラム

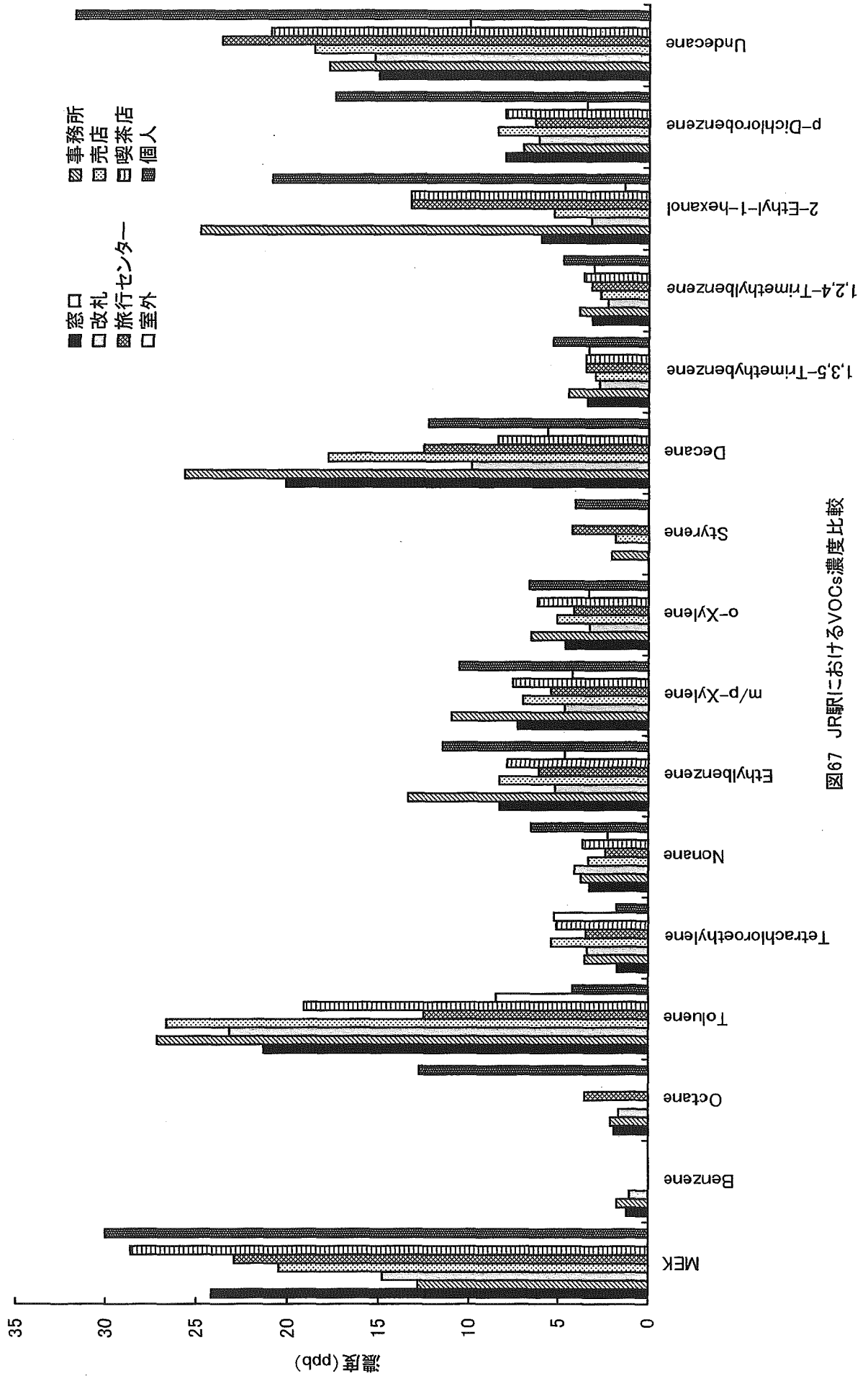


図67 JR駅におけるVOCs濃度比較

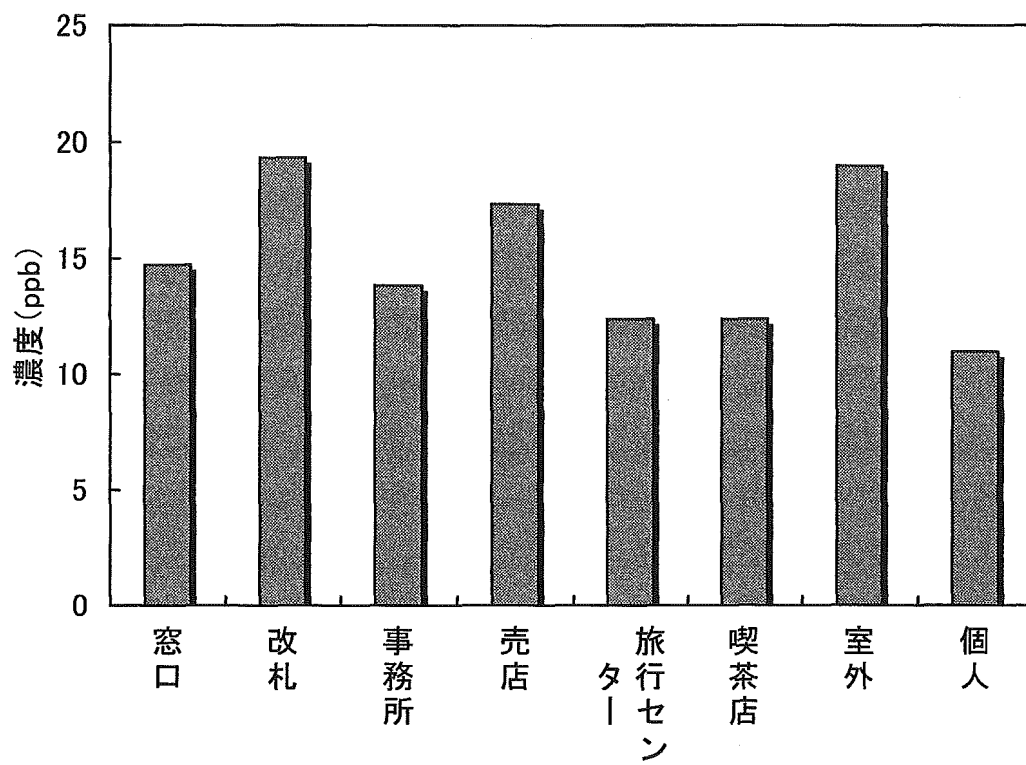


図68JR駅におけるNO₂濃度比較

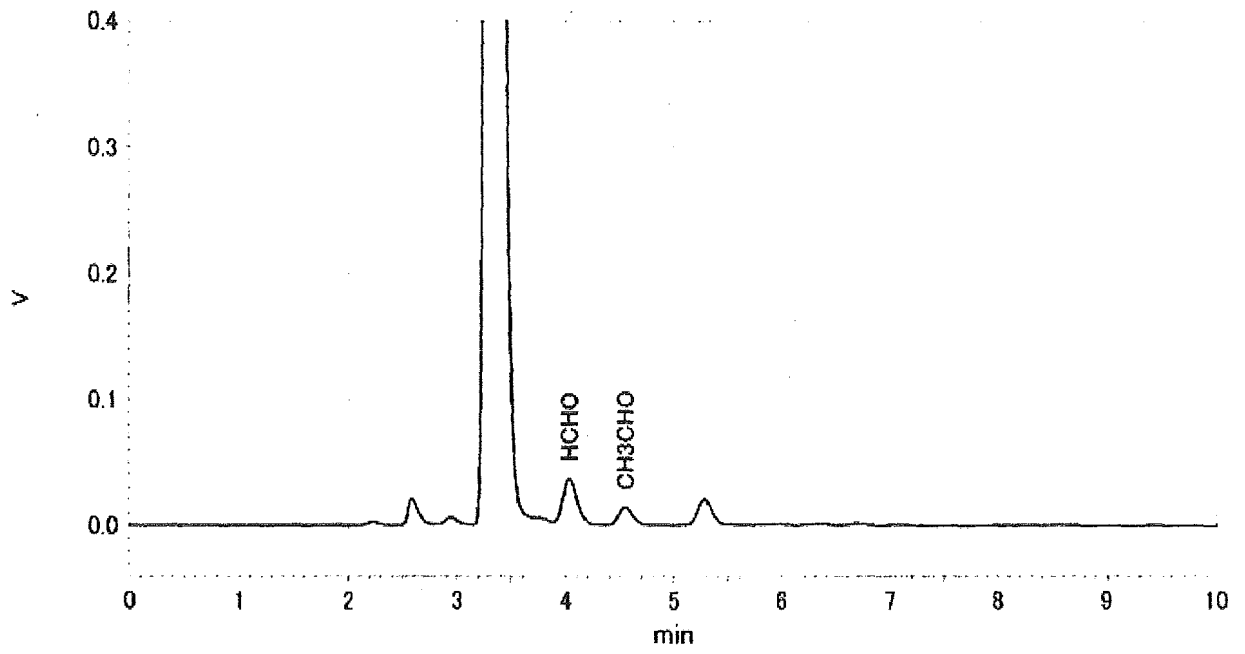


図69 JR駅(窓口)におけるアルデヒド類クロマトグラム

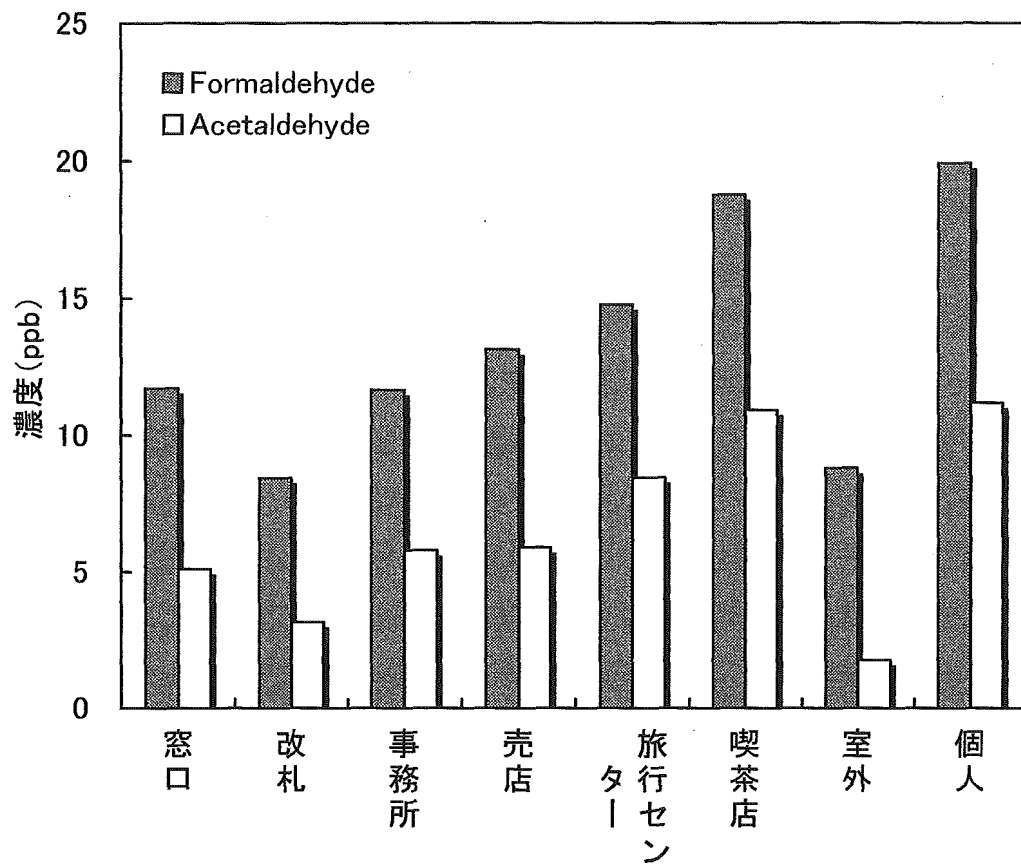


図70 JR駅におけるアルデヒド類濃度比較

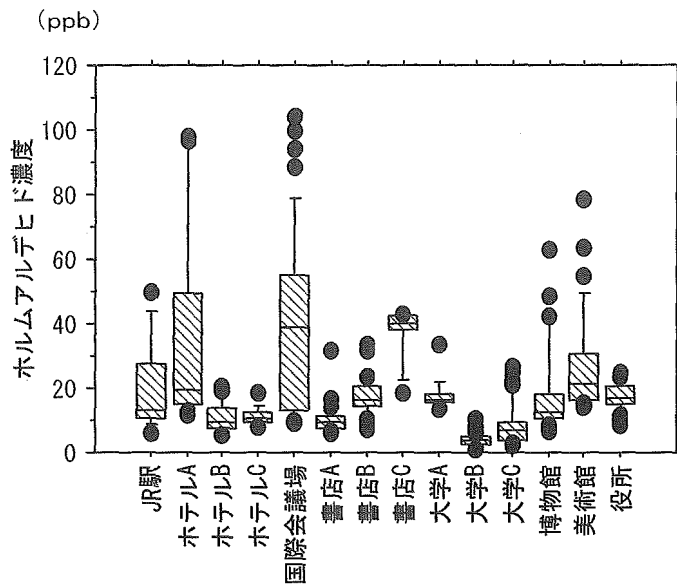


図71 ホルムアルデヒド

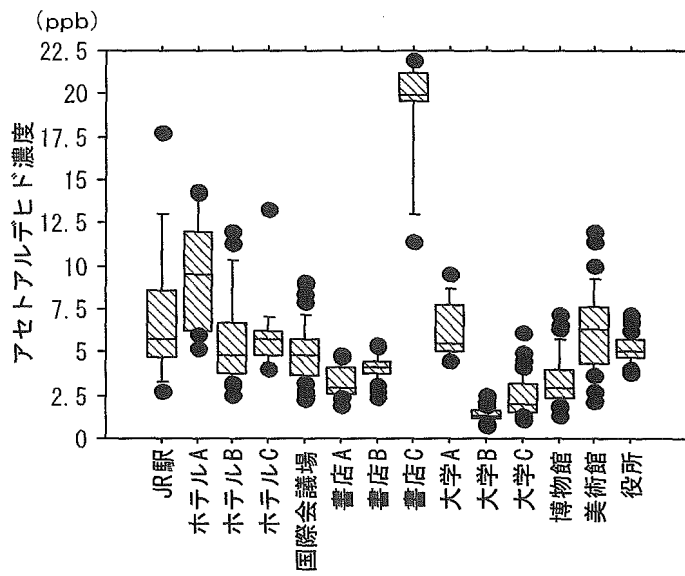


図72 アセトアルデヒド

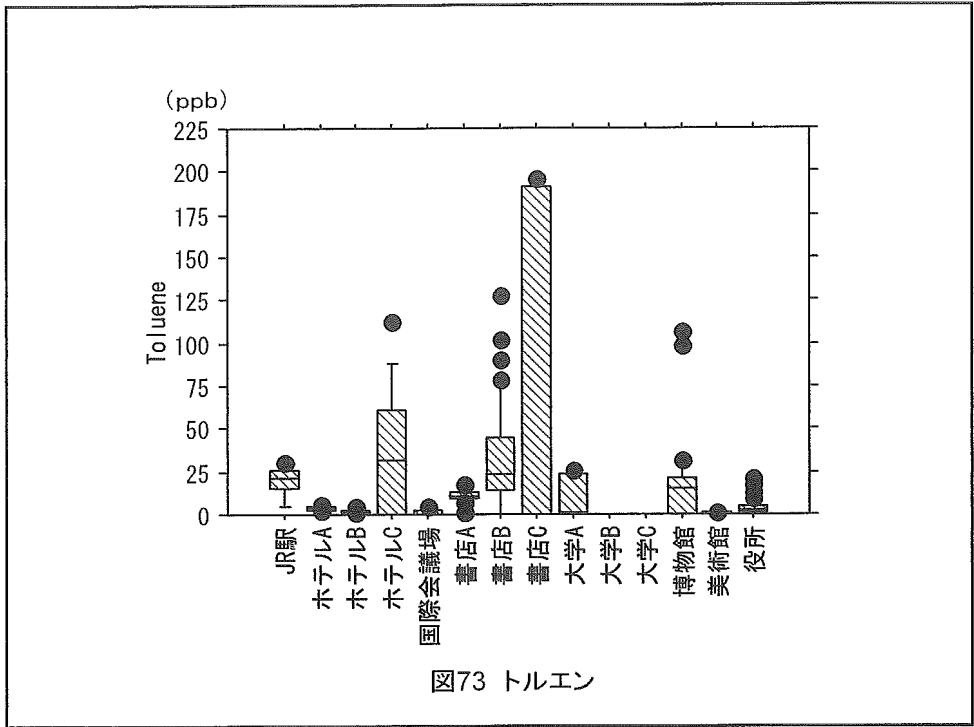


図73 トルエン

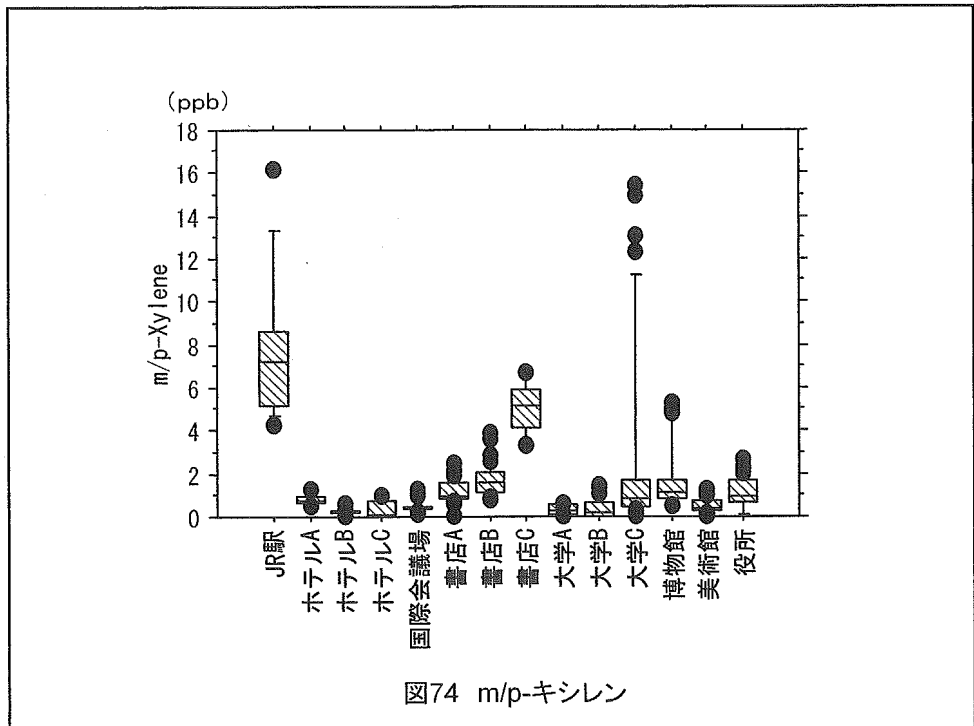


図74 m/p-キシレン